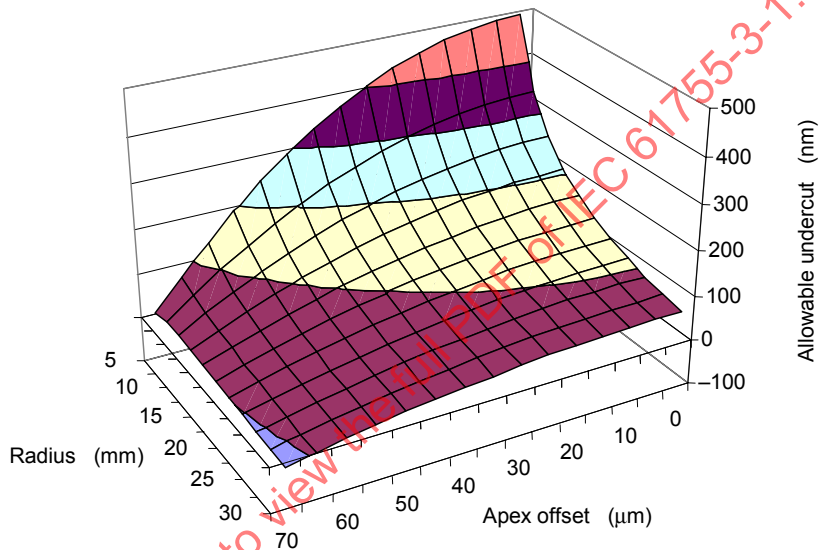


## CORRIGENDUM 1

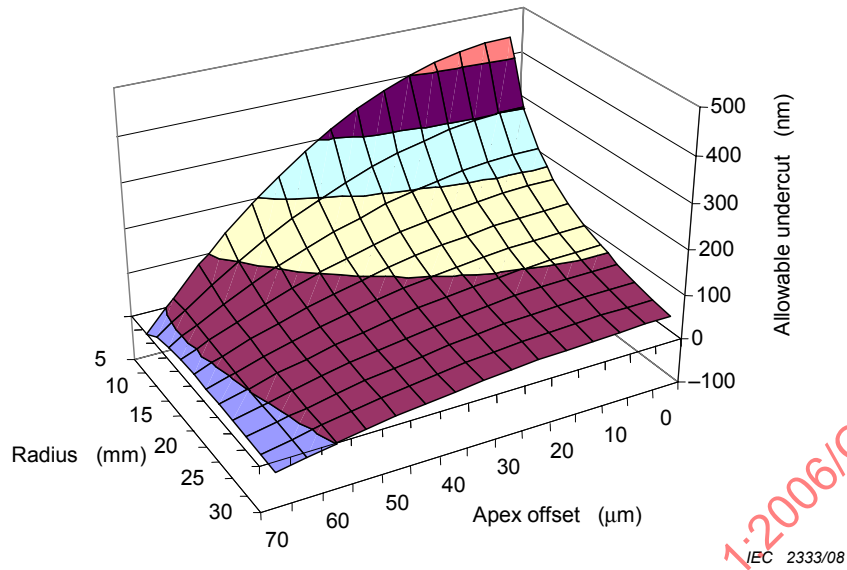
Replace in Annex A, the existing Figures A.1 and A.2, by the following new figures:



IEC 2332/08

$$A_{\text{maximum}} = 1\,988 \times B^{(-0,795)} - B \times 10^6 + \left( \sqrt{B^2 \times 10^6 - C^2} \right) \times 10^3 - 60$$

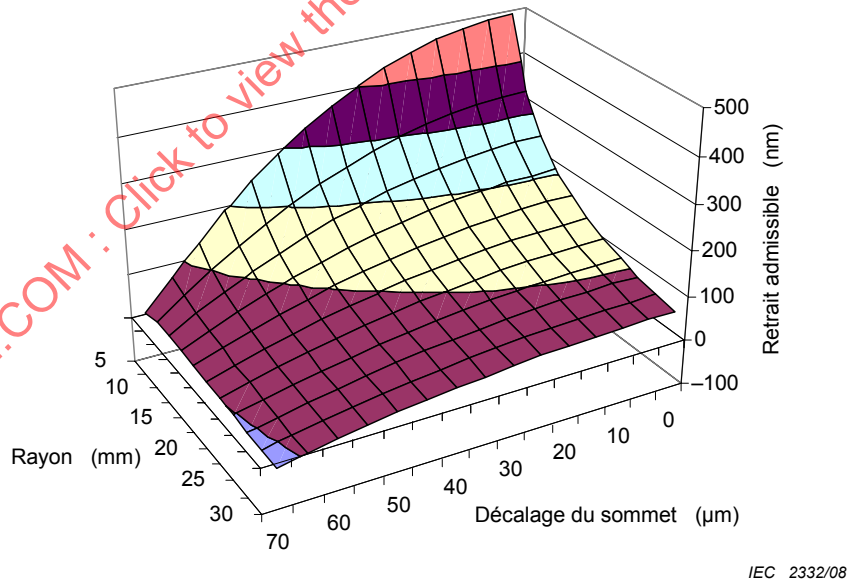
Figure A.1 – Allowable undercut as a function of end face radius and apex offset –  
4,9 N minimum contact force



$$A_{\text{maximum}} = 1\,798 \times B^{-0,795} - B \times 10^6 + \left( \sqrt{B^2 \times 10^6 - C^2} \right) \times 10^3 - 60$$

**Figure A.2 – Allowable undercut as a function of end face radius and apex offset – 2,9 N minimum contact force**

Remplacer, à l'Annexe A, les Figures A.1 et A.2 existantes par les nouvelles figures suivantes:



$$A_{\text{maximum}} = 1\,988 \times B^{(-0,795)} - B \times 10^6 + \left( \sqrt{B^2 \times 10^6 - C^2} \right) \times 10^3 - 60$$

**Figure A.1 – Retrait admissible en fonction du rayon d'extrémité et du décalage du sommet – Force de contact minimale de 4,9 N**